

УДК 544.523.2, 544.525.2

## Влияние строения 3-арилацетилацетонатных лигандов на люминесцентные свойства комплексов $\text{Eu}^{3+}$ и $\text{Tb}^{3+}$

**A. B. Кандель<sup>1</sup>, Е. А. Михалёва<sup>1</sup>, М. Зеллер (M. Zeller)<sup>2</sup>,  
A. B. Эддисон (A. W. Addison)<sup>3</sup>, В. В. Павлищук<sup>1</sup>**

<sup>1</sup> Институт физической химии им. Л. В. Писаржевского НАН Украины  
просп. Науки, 31, Киев 03028, Украина. E-mail: shchuk@inphyschem-nas.kiev.ua

<sup>2</sup> Purdue University, Department of Chemistry  
560 Oval Drive, West Lafayette, IN 47907, U.S.A.

<sup>3</sup> Department of Chemistry, Drexel University  
Philadelphia, PA 19104-2816, U.S.A.

*Показано, что в ряду комплексов  $Tp_2LnL$  ( $Ln = \text{Eu}, \text{Tb}$ ;  $Tp^-$  = трис(пиразолил)борат-анион;  $L^-$  = 3-арилацетилацетонат) с удлинением цепи сопряжения ароматического заместителя понижается значение энергии триплетного уровня  $L^-$ , что приводит к изменению природы эмиссии с метал-центрированной на лиганд-центрированную. Найдено, что введение двух лигандов-антенн различной природы способствует повышению квантовых выходов люминесценции (до 74 %) в случае комплексов  $\text{Tb}^{3+}$ , вероятно, за счет оптимизации путей передачи энергии, тогда как для соединений  $\text{Eu}^{3+}$  приводит к гашению эмиссии, по всей видимости, в результате повышения эффективности миграции энергии и безызлучательной дезактивации возбужденных состояний.*

**Ключевые слова:** фотолюминесценция, лиганды-антенны, трис(пиразолил)борат, ацетилацетонат, сенсибилизация.

С развитием современных технологий создания электронных устройств повышаются требования к таким характеристикам цветопередачи, как воспроизведимость и чистота цвета эмиссии. Поэтому для создания люминесцентных экранов и лазеров перспективными являются комплексы ионов лантаноидов ( $\text{Ln}^{3+}$ ) вследствие характерных узких полос  $f-f$ -переходов в спектрах эмиссии, положение которых не зависит от координационного окружения центрального атома [1, 2]. Главными недостатками материалов на основе люминесцирующих комплексов лантаноидов, ограничивающими их практическое применение, являются малые интенсивности излучения при непосредственном возбуждении  $\text{Ln}^{3+}$ , поэтому актуальной задачей является разработка методов управления люминесцентными характеристиками координационных соединений  $\text{Ln}^{3+}$ .

Одним из подходов к увеличению интенсивности эмиссии является использование эффекта антенны, основанного на введении в координационную сферу иона лантаноида лиганда, способного эффективно поглощать возбуждающее излучение и передавать

энергию на уровни  $\text{Ln}^{3+}$ . Для повышения эффективности возбуждения этих ионов лиганд должен удовлетворять двум основным требованиям [3]: обладать высоким коэффициентом экстинкции, что приведет к увеличению вероятности перехода лиганда из основного состояния в возбужденное и, следовательно, к усилинию интенсивности эмиссии; положение триплетного уровня лиганда ( $^3T_1$ ) должно соответствовать правилам Латва, которые оговаривают оптимальный энергетический диапазон между этим уровнем и излучательным уровнем  $\text{Ln}^{3+}$  для максимально эффективного переноса энергии.

В настоящее время известно, что присутствие в органическом хромофоре ароматических заместителей, как правило, приводит к увеличению абсорбции возбуждающего света. В основу данного исследования легло предположение, что удлинение цепи сопряжения в ароматическом фрагменте лиганда приведет к повышению интенсивности  $\text{Ln}^{3+}$ -центрированной эмиссии в комплексе с таким лигандом-антенной. Поскольку известно, что комплексы  $\text{Eu}^{3+}$  и  $\text{Tb}^{3+}$  с ацетилацетонатом и его производными

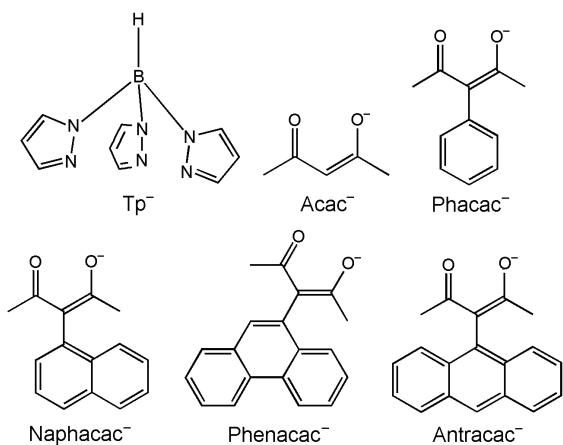


Рис. 1. Структурные формулы лигандов, использованных в настоящей работе.

проявляют люминесценцию в видимой области [1], нами проведено модифицирование ацетилацетоната путем введения в  $\gamma$ -положение арильных фрагментов с закономерно изменяющейся структурой в виде последовательно увеличивающегося количества конденсированных бензольных колец (рис. 1). Цель работы состоит в выяснении влияния химического строения таких замещенных лигандов ( $L^-$ ) на люминесцентные свойства комплексов лантаноидов с ними. Как известно [4, 5],  $\text{Tr}^-$  является эффективным лигандом-антеннной для  $\text{Eu}^{3+}$  и  $\text{Tb}^{3+}$ , поэтому совместным введением двух лигандов-антенн в координационную сферу  $\text{Ln}^{3+}$  предполагалось получить аддитивность в повышении квантовых выходов, для чего были синтезированы моноядерные комплексы  $\text{Eu}^{3+}$  и  $\text{Tb}^{3+}$  состава  $\text{Tp}_2\text{LnL}$  ( $\text{Ln} = \text{Eu}, \text{Tb}$ ;  $\text{Tp}^- =$  трис(пиразолил)борат-анион;  $L^- = \text{Phacac}^-$  (2Ln),  $\text{Naphacac}^-$  (3Ln),  $\text{Phenacac}^-$  (4Ln),  $\text{Antracac}^-$  (5Ln) и  $\text{Acac}^- =$  ацетилацетонат-анион (1Ln) [6–8] для сравнения). Несмотря на то что комплексы 1Ln уже известны [6–8], их люминесцентные свойства не исследовались, поэтому нами изучены спектры эмиссии этих соединений и определены соответствующие квантовые выходы (КВ). Кроме того, для определения значений энергии триплетных уровней лигандов нами также синтезированы комплексы  $\text{Gd}^{3+}$  аналогичного состава и комплекс  $\text{Tp}_2\text{GdCl}$ .

### Экспериментальная часть

Коммерчески доступные реагенты («Acros» и «Макрохим») использовали без дополнительной очистки. Трис(пиразолил)борат таллия ( $\text{TpTl}$ ) получали по методике [9]. Элементный анализ проводили с помощью анализатора «Carlo Erba 1106». Масс-спектры измерены с помощью спектрометра «Waters Micromass AutoSpec Ultima», ионизация

проводилась методом бомбардировки быстрыми атомами.

Электронные спектры диффузного отражения измеряли на спектрометре «Specord M-40» и преобразовывали с помощью функции Кубелки — Мунка [10], а спектры поглощения растворов 3-арилацетилацетонатных лигандов в  $\text{CHCl}_3$  — на спектрометре «Specord 210» («Analytik Jena»). Спектры возбуждения и люминесценции при комнатной температуре измерены для твердых образцов комплексов на спектрофлуориметре «Perkin Elmer LS55». КВ определены по известной методике с использованием стандарта ( $\text{Y}_2\text{O}_3 : \text{Eu}^{3+}$ ) для длины волны возбуждающего света 254 нм (возбуждение лиганда) [11] и  $\text{MgO}$  ( $R = 0,91$ ) в качестве стандарта отражения [12]. Относительная ошибка определения КВ составляет 10—15 %. Спектры фосфоресценции с задержкой 50 мкс соединений  $\text{Gd}^{3+}$  зарегистрированы на спектрофлуориметре «Fluorolog FL 3-22» («Horiba Jobin-Yvon Inc.») или «Perkin Elmer LS55».

Расчет значения энергии триплетного уровня по теории функционала плотности (DFT) проводился с использованием программного пакета ORCA [13]. Начальные параметры молекулярной геометрии для Antracac<sup>-</sup>, которые использовались для DFT-расчета, получены оптимизацией геометрии с помощью метода молекулярной механики с использованием программы AVOGADRO [14]. Молекулярная геометрия оптимизирована с использованием ключевого слова ‘TightOpt’ с базисом def2-TZVP/J. Значение энергии обменно-корреляционных взаимодействий определялось с помощью функционала B3LYP с приближением RIJCOSX. Для расчета величины энергии интегрируемая решетка была расширена до 302 точек Лебедева (использование ключевого слова ‘Grid4’). Использована стандартная комбинированная решетка (из Grid 4) с внесенной атомно-парной дисперсионной поправкой для энергии DFT с использованием затухания Бекке — Джонсона.

Комpleксы  $\text{Tp}_2\text{LnCl}$  ( $\text{Ln} = \text{Eu}, \text{Tb}, \text{Gd}$ ) получены взаимодействием  $\text{TpTl}$  с хлоридами соответствующих ионов лантаноидов в метиловом спирте, а соединения  $\text{Tp}_2\text{LnL}$  — взаимодействием эквимолярных количеств  $\text{Tp}_2\text{LnCl}$  с ацетилацетонатными лигандами ( $\text{HL}$ ) в дихлорметане в присутствии триэтиламина в качестве депротонирующего агента.

Состав соединений, изученных в настоящей работе, подтвержден методами элементного анализа и масс-спектрометрии.

### Результаты и обсуждение

В электронных спектрах растворов 3-арилацетилацетонатов в  $\text{CHCl}_3$  в УФ-области присутствуют интенсивные полосы поглощения, соответствующие

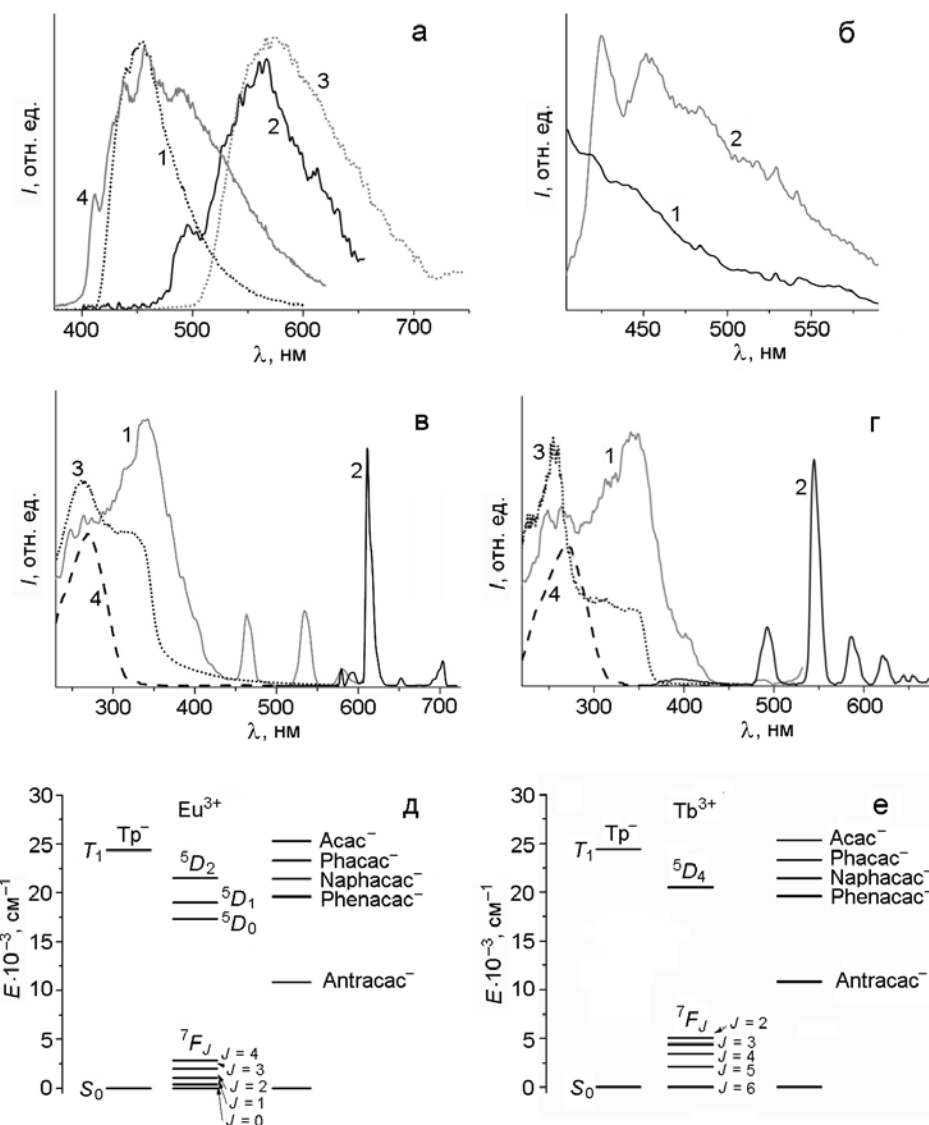


Рис. 2. а — Спектры фосфоресценции **2Gd** (1) ( $\lambda_{\text{ex}} = 320 \text{ нм}$ ), **3Gd** (2) ( $\lambda_{\text{ex}} = 340 \text{ нм}$ ), **4Gd** (3) ( $\lambda_{\text{ex}} = 420 \text{ нм}$ ) и **Tp<sub>2</sub>GdCl** (4) ( $\lambda_{\text{ex}} = 315 \text{ нм}$ ); б — спектры флуоресценции L<sup>-</sup> в комплексах **4Tb** (1) ( $\lambda_{\text{ex}} = 385 \text{ нм}$ ), **5Tb** ( $\lambda_{\text{ex}} = 385 \text{ нм}$ ) и **5Eu** ( $\lambda_{\text{ex}} = 400 \text{ нм}$ ) (2); в, г — спектры возбуждения (1) и люминесценции (2) комплексов **3Eu** ( $\lambda_{\text{ex}} = 340 \text{ нм}$ ,  $\lambda_{\text{em}} = 611 \text{ нм}$ ), **4Eu** ( $\lambda_{\text{ex}} = 360 \text{ нм}$ ,  $\lambda_{\text{em}} = 611 \text{ нм}$ ) (в) и **2Tb** ( $\lambda_{\text{ex}} = 340 \text{ нм}$ ,  $\lambda_{\text{em}} = 545 \text{ нм}$ ), **3Tb** ( $\lambda_{\text{ex}} = 340 \text{ нм}$ ,  $\lambda_{\text{em}} = 545 \text{ нм}$ ), **1Tb** ( $\lambda_{\text{ex}} = 340 \text{ нм}$ ,  $\lambda_{\text{em}} = 545 \text{ нм}$ ) (г) и спектры поглощения HL (3) и **TpTl** (4); д, е — энергетическая диаграмма для комплексов Eu<sup>3+</sup> и Tb<sup>3+</sup> соответственно.

$\pi-\pi^*$ -переходам сопряженной системы этих соединений. Коэффициенты экстинкции, определенные для максимумов этих полос, составляют  $8,9 \cdot 10^3 \text{ M}^{-1} \cdot \text{см}^{-1}$  для HAcac,  $9,3 \cdot 10^3 \text{ M}^{-1} \cdot \text{см}^{-1}$  для HPhacac,  $14,6 \cdot 10^3 \text{ M}^{-1} \cdot \text{см}^{-1}$  для HNaphacac,  $50,4 \cdot 10^3 \text{ M}^{-1} \cdot \text{см}^{-1}$  для HPhenacac и  $99,9 \cdot 10^3 \text{ M}^{-1} \cdot \text{см}^{-1}$  для HAntracac. Таким образом, интенсивность поглощения света соединениями HL, изученными в настоящей работе, повышается с увеличением длины цепи сопряжения, что согласуется с известными тенденциями и нашим предположением.

Для определения значений энергии триплетных уровней Tr<sup>-</sup> и L<sup>-</sup> изучены спектры фосфоресценции Tp<sub>2</sub>GdCl и **2Gd** при 77 K, а также **3Gd** и **4Gd** при комнатной температуре, в которых проявляются широкие полосы, обусловленные эмиссией лигандов (рис. 2, а). Использовались комплексы Gd<sup>3+</sup>, поскольку излучательный уровень Gd<sup>3+</sup> ( ${}^6P_J$ ,  $32200 \text{ см}^{-1}$ ) [15] находится выше по энергии триплетного уровня большинства органических соединений, что препятствует переносу энергии с лиганда на Ln<sup>3+</sup>, поэтому металлокентрированная

люминесценция в таких комплексах не наблюдается, а проявляется фосфоресценция лиганда. Также известно, что присутствие тяжелого атома усиливает интеркомбинационную конверсию и, как результат, увеличивает интенсивность фосфоресценции лиганда. Значения энергии триплетных уровней определяли по наиболее высоконергетическому краю полосы эмиссии в спектрах  $\text{Tp}_2\text{GdCl}$ , **2Gd**, **3Gd** и **4Gd** ( $24350, 23300, 21400$  и  $19600 \text{ см}^{-1}$  соответственно), а в случае **5Gd**, поскольку его спектр фосфоресценции зафиксировать не удалось, соответствующее значение энергии  $\text{Antracac}^-$  ( $10800 \text{ см}^{-1}$ ) оценивали методом DFT. Из полученных данных следует, что увеличение длины цепи сопряжения в ароматическом заместителе в  $L^-$  приводит к уменьшению величины энергии триплетного уровня этого лиганда. Поскольку излучательный уровень  $\text{Eu}^{3+}$  ( $^5D_0$ ,  $17300 \text{ см}^{-1}$ ) [1] по энергии находится ниже триплетного уровня  $\text{Acac}^-$  [16],  $\text{Phacac}^-$ ,  $\text{Naphacac}^-$  и  $\text{Phenacac}^-$  (рис. 2, *d*), можно предполагать проявление и сенсибилизацию эмиссии  $\text{Eu}^{3+}$  этими лигандами, а в случае комплекса с  $\text{Antracac}^-$  — возникновение лиганд-центрированной люминесценции вследствие необратимого переноса энергии с металла на  $L^-$ . В случае же соединений  $\text{Tb}^{3+}$  (излучательный уровень  $^5D_4$ ,  $20500 \text{ см}^{-1}$ ) [1] проявление металл-центрированной эмиссии можно ожидать у комплексов с  $\text{Phacac}^-$ ,  $\text{Naphacac}^-$  и  $\text{Acac}^-$ , а лиганд-центрированной — с  $\text{Phenacac}^-$  и  $\text{Antracac}^-$  (рис. 2, *e*).

Для твердых образцов комплексов  $\text{Eu}^{3+}$  и  $\text{Tb}^{3+}$  изучены спектры возбуждения и люминесценции при комнатной температуре (рис. 2, *b*, *e*). В спектрах эмиссии комплексов **1Tb—3Tb**, **3Eu**, **4Eu** проявляется металл-центрированная люминесценция в виде узких полос, положение которых характерно для излучения соответствующих  $\text{Ln}^{3+}$ . Так, в спектрах **1Tb—3Tb** присутствуют четыре интенсивные полосы с максимумами при  $489$ ,  $545$ ,  $585$  и  $620 \text{ нм}$ , которые обусловлены переходами  $^5D_4 \rightarrow ^7F_6$ ,  $^5D_4 \rightarrow ^7F_5$ ,  $^5D_4 \rightarrow ^7F_4$  и  $^5D_4 \rightarrow ^7F_3$  соответственно [17], а в случае соединения **2Tb** в спектре также наблюдаются слабые полосы при  $649 \text{ нм}$  ( $^5D_4 \rightarrow ^7F_2$ ),  $668 \text{ нм}$  ( $^5D_4 \rightarrow ^7F_1$ ) и  $678 \text{ нм}$  ( $^5D_4 \rightarrow ^7F_0$ ) [18]. В спектрах люминесценции комплексов **3Eu** и **4Eu** около  $593$ ,  $617$  и  $693 \text{ нм}$  проявляются интенсивные полосы эмиссии, соответствующие переходам  $^5D_0 \rightarrow ^7F_1$ ,  $^5D_0 \rightarrow ^7F_2$  и  $^5D_0 \rightarrow ^7F_4$  иона  $\text{Eu}^{3+}$  [19], и слабые полосы эмиссии при  $580$  и  $650 \text{ нм}$ , обусловленные переходами  $^5D_0 \rightarrow ^7F_0$  и  $^5D_0 \rightarrow ^7F_3$  [19]. При этом полоса, соответствующая электродипольному переходу  $^5D_0 \rightarrow ^7F_2$ , интенсивнее полосы магнитодипольного перехода  $^5D_0 \rightarrow ^7F_1$ , что свидетельствует о нецентросимметричной геометрии координационного окружения центрального атома и со-

гласуется с данными рентгеноструктурного анализа, детальное рассмотрение которых выходит за рамки настоящей работы.

В спектрах возбуждения (рис. 2, *b*, *e*), измеренных при длине волны максимума металл-центрированной эмиссии ( $\lambda_{\text{em}} = 611 \text{ нм}$  для **3Eu**, **4Eu** и  $545 \text{ нм}$  для **1Tb—3Tb**), проявляются широкие полосы в УФ-области, которые перекрываются с полосами поглощения как  $L^-$ , так и  $\text{Tr}^-$ , что указывает на выполнение обоими лигандами роли антенн. Положение и интенсивность  $f-f$ -полос поглощения  $\text{Ln}^{3+}$  существенно отличаются в спектрах возбуждения комплексов  $\text{Eu}^{3+}$  и  $\text{Tb}^{3+}$  и позволяют оценить эффективность переноса энергии на металл. Так, в спектрах возбуждения соединений  $\text{Eu}^{3+}$  (**3Eu**, **4Eu**) узкие полосы наблюдаются при  $463 \text{ нм}$  ( $^7F_0 \rightarrow ^5D_2$ ) и  $534 \text{ нм}$  ( $^7F_0 \rightarrow ^5D_1$ ) [20], при этом их интенсивность соизмерима с интенсивностью полос, обусловленных поглощением лигандов. На основании наблюдавших спектров можно высказать предположение о невысокой эффективности  $\text{Naphacac}^-$  и  $\text{Phenacac}^-$  как лигандов-антенн для  $\text{Eu}^{3+}$ . Напротив, в спектрах возбуждения комплексов  $\text{Tb}^{3+}$  (**1Tb—3Tb**) полосы собственного поглощения иона лантаноида в области  $400$ — $500 \text{ нм}$  характеризуются малой интенсивностью, что позволяет ожидать высокую эффективность переноса энергии с лиганда на металл.

Характеристики фотolumинесценции комплексов  $\text{Eu}^{3+}$  и  $\text{Tb}^{3+}$  представлены в таблице. В целом можно заметить, что КВ металл-центрированной эмиссии для комплексов **2Tb** и **3Eu** выше, чем для соответствующих соединений **3Tb** и **4Eu**, а при переходе к **4Tb**, **5Tb** и **5Eu** происходит изменение природы люминесценции с металл-центрированной на лиганд-центрированную (рис. 2, *b*). Эта тенденция может быть объяснена изменением направления и эффективности переноса энергии (рис. 2, *d*, *e*) в этих соединениях. Согласно эмпирическим правилам, сформулированным в работе [3], эффективность процессов передачи энергии на  $\text{Ln}^{3+}$  максимальна при разнице значений энергий триплетного уровня лиганда и излучательного уровня  $\text{Ln}^{3+}$  (энергетический зазор,  $\Delta E$ ), равной  $2500$ — $3500 \text{ см}^{-1}$  для соединений  $\text{Eu}^{3+}$  и  $2500$ — $4000 \text{ см}^{-1}$  для соединений  $\text{Tb}^{3+}$ . В этом случае, с одной стороны, избыток энергии может легко рассеяться за счет колебаний решетки, а с другой — вследствие достаточно большой разницы между уровнями невозможен и обратный перенос энергии с уровня иона металла на триплетный уровень лиганда, что способствует проявлению высоких КВ  $\text{Ln}^{3+}$ -центрированной люминесценции.

В ряду комплексов  $\text{Tb}^{3+}$  максимальный КВ металл-центрированной эмиссии наблюдается для **2Tb** (74 %), что объясняется соответствием энер-

**Характеристики фотолюминесценции комплексов Eu<sup>3+</sup> и Tb<sup>3+</sup>**

Лиганд ( $L^-$ )	Eu <sup>3+</sup>	Tb <sup>3+</sup>
Acac <sup>-</sup> $E(^3T_1) = 25300 \text{ cm}^{-1}$	<b>1Eu</b> Эмиссия отсутствует $\Delta E(^3T_1(L^-) - ^5D_0) = 8000 \text{ cm}^{-1}$ 	<b>1Tb</b> Эмиссия металла KB = 56 ± 6 % $\Delta E(^3T_1(L^-) - ^5D_4) = 4800 \text{ cm}^{-1}$ 
Phacac <sup>-</sup> $E(^3T_1) = 23300 \text{ cm}^{-1}$	<b>2Eu</b> Эмиссия отсутствует $\Delta E(^3T_1(L^-) - ^5D_0) = 6000 \text{ cm}^{-1}$ 	<b>2Tb</b> Эмиссия металла KB = 74 ± 7 % $\Delta E(^3T_1(L^-) - ^5D_4) = 2800 \text{ cm}^{-1}$ 
Naphacac <sup>-</sup> $E(^3T_1) = 21400 \text{ cm}^{-1}$	<b>3Eu</b> Эмиссия металла KB = 0,3 ± 0,1% $\Delta E(^3T_1(L^-) - ^5D_0) = 4100 \text{ cm}^{-1}$ 	<b>3Tb</b> Эмиссия металла KB = 1,5 ± 0,5 % $\Delta E(^3T_1(L^-) - ^5D_4) = 900 \text{ cm}^{-1}$ 
Phenacac <sup>-</sup> $E(^3T_1) = 19600 \text{ cm}^{-1}$	<b>4Eu</b> Эмиссия металла KB определить не удалось $\Delta E(^3T_1(L^-) - ^5D_0) = 2300 \text{ cm}^{-1}$ 	<b>4Tb</b> Эмиссия лиганда $\Delta E(^3T_1(L^-) - ^5D_4) = -900 \text{ cm}^{-1}$ 
Antracac <sup>-</sup> $E(^3T_1) = 10800 \text{ cm}^{-1}$	<b>5Eu</b> Эмиссия лиганда $\Delta E(^3T_1(L^-) - ^5D_0) = -6500 \text{ cm}^{-1}$ 	<b>5Tb</b> Эмиссия лиганда $\Delta E(^3T_1(L^-) - ^5D_4) = -9700 \text{ cm}^{-1}$ 

гетического зазора между  $^3T_1(\text{Phacac}^-)$  и  $^5D_4(\text{Tb}^{3+})$  (таблица) оптимальному диапазону согласно [3]. Понижение КВ до 56 % у **1Tb** обусловлено превышением величиной энергетического зазора между  $^3T_1(\text{Acac}^-)$  и  $^5D_4(\text{Tb}^{3+})$  верхней границы указанного диапазона. Переключение люминесценции с металл-центрированной на лиганд-центрированную при переходе от **3Tb** к **4Tb** может быть результатом изменения направления переноса энергии с  $L^- \rightarrow \text{Ln}^{3+}$  на  $\text{Ln}^{3+} \rightarrow L^-$  за счет более высокого по энергии расположения излучательного уровня  $\text{Tb}^{3+}$  по сравнению с  $^3T_1(\text{Phenacac}^-)$ . Нужно отметить низкую величину интенсивности эмиссии в обоих вышеперечисленных комплексах, что может свидетельствовать о гашении люминесценции вследствие миграции энергии между близлежащими триплетными уровнями  $L^-$  и  $^5D_4$ -уровнем  $\text{Tb}^{3+}$  (таблица, рис. 2, e), которая увеличивает вероятность безызлучательной дезактивации возбужденных состояний, приводя тем самым к уменьшению интенсивности эмиссии. Проявление люминесценции лиганда в спектре **5Tb** (рис. 2, б), по всей видимости, обусловлено необратимым переносом энергии с металла на  $L^-$  в результате более низкого по энергии, чем излучательный уровень  $\text{Tb}^{3+}$ , расположения триплетного уровня  $\text{Antracac}^-$ . Таким образом, для соединений  $\text{Tb}^{3+}$  понижение энергии триплетного уровня  $L^-$  с 25300 до 23300  $\text{cm}^{-1}$  приводит к повышению КВ металл-центрированной эмиссии (при переходе от **1Tb** к **2Tb**), уменьшение  $E(^3T_1(L^-))$  с 23300 до 21400  $\text{cm}^{-1}$  (от **2Tb** к **3Tb**) — к снижению КВ и при дальнейшем снижении до 20000  $\text{cm}^{-1}$  и менее (комpleksy **4Tb** и **5Tb**) происходит изменение природы люминесценции на лиганд-центрированную вследствие изменения направления переноса энергии.

Низкие интенсивности и малые КВ металл-центрированной эмиссии соединений  $\text{Eu}^{3+}$  (**3Eu** и **4Eu**) могут быть обусловлены несоответствием величин энергетических зазоров между  $^3T_1(\text{Naphacac}^-)$  или  $^3T_1(\text{Phenacac}^-)$  и  $^5D_0(\text{Eu}^{3+})$  диапазону правила Латва [3] (таблица). В спектрах люминесценции **5Eu**, как и **5Tb**, зафиксировано лишь излучение лиганда (рис. 2, б), а в случае соединений **1Eu** и **2Eu**, у которых энергетический зазор превышает 5000  $\text{cm}^{-1}$ , в спектрах не наблюдается эмиссия ни металла, ни лиганда, что может быть результатом гашения люминесценции вследствие миграции энергии между близко расположенными триплетными уровнями  $\text{Tr}^-$  (24350  $\text{cm}^{-1}$ ),  $L^-$  и верхним возбужденным  $^5D_2$ -уровнем  $\text{Eu}^{3+}$  (21480  $\text{cm}^{-1}$  [21]). Стоит отметить, что для соединений  $\text{Eu}^{3+}$  так же, как и для комплексов  $\text{Tb}^{3+}$ , с понижением энергии триплетного уровня  $L^-$  происходит изменение природы эмиссии.

С целью оценки изменения люминесцентных характеристик комплексов лантаноидов при введении двух разных лигандов-антенн проведено сравнение КВ для **1Ln**, **2Ln** и определенных ранее для соединений состава  $\text{LnTr}_3$  [4, 5],  $\text{LnAcac}_3(\text{H}_2\text{O})_3$  [22, 23] и  $\text{LnPhacac}_3(\text{H}_2\text{O})_2$  [24, 25]. В случае  $\text{Eu}^{3+}$  КВ гомолигандных комплексов составляют 43 % ( $\text{EuTr}_3$ ) [4], 32,6 % ( $\text{EuAcac}_3(\text{H}_2\text{O})_3$ ) [22], а для  $\text{EuPhacac}_3(\text{H}_2\text{O})_2$   $\text{Ln}^{3+}$ -центрированная эмиссия зафиксирована лишь на качественном уровне [25], однако гетеролигандные соединения **1Eu** и **2Eu** не проявляют  $\text{Eu}^{3+}$ -центрированную эмиссию. Это может быть обусловлено процессами гашения люминесценции в  $\text{Tr}_2\text{EuL}$ , в отличие от  $\text{EuTr}_3$ ,  $\text{EuAcac}_3(\text{H}_2\text{O})_3/\text{EuPhacac}_3(\text{H}_2\text{O})_2$ , вследствие миграции энергии между триплетными уровнями  $\text{Tr}^-$ ,  $\text{Acac}^-/\text{Phacac}^-$  и  $^5D_2$ -уровнем иона лантаноида и, как результат, увеличением вероятности безызлучательной дезактивации возбужденных состояний. Напротив, в случае соединений  $\text{Tb}^{3+}$  наблюдается увеличение КВ при введении второго лиганда с 24 % ( $\text{TbTr}_3$ ) [5], 15 % ( $\text{TbAcac}_3(\text{H}_2\text{O})_3$ ) [23] и 39 % ( $\text{TbPhacac}_3(\text{H}_2\text{O})_2$ ) [24] до 56 % для **1Tb** и 74 % для **2Tb**, что свидетельствует о большей эффективности переноса энергии на  $\text{Tb}^{3+}$  в случае гетеролигандного комплекса с  $\text{Acac}^-/\text{Phacac}^-$ , вероятно, за счет оптимизации пути передачи энергии.

Таким образом, в настоящей работе показано, что имеющиеся в научной литературе представления об усилении интенсивности лантаноид-центрированной эмиссии при повышении коэффициента экстинкции лиганда с удлинением цепи сопряжения ароматического заместителя путем увеличения в нем количества конденсированных бензольных колец не выполняются в тех случаях, когда наряду с увеличением коэффициента экстинкции происходит такое изменение энергии триплетного уровня лиганда, что он становится ниже излучательного уровня иона лантаноида и это приводит к изменению природы эмиссии с металл-центрированной на лиганд-центрированную. Выяснено, что при введении двух лигандов-антенн различной природы в комплексы  $\text{Tb}^{3+}$  (а именно,  $\text{Tr}^-$  и  $\text{Acac}^-$  или  $\text{Tr}^-$  и  $\text{Phacac}^-$ ) наблюдается повышение КВ люминесценции  $\text{Tb}^{3+}$ , вероятно, за счет оптимизации путей передачи энергии, а в случае  $\text{Eu}^{3+}$  — гашение эмиссии, по всей видимости, вследствие усиления процессов миграции энергии и безызлучательной дезактивации возбужденных состояний.

Работа выполнена при частичной финансовой поддержке совместного проекта трехстороннего сотрудничества (Trilateral Partnerships) Фонда VolkswagenStiftung между исследователями Украины, России

и Германии (№ 90343) и проекта целевой программы научных исследований НАН Украины «Новые функциональные вещества и материалы химического производства» (договор № 9-17). Авторы выражают благодарность А. С. Литвиненко за помощь в проведении DFT-расчетов и С. С. Смоле за измерение спектров фосфоресценции.

## Література

1. Binnemans K. // Chem. Rev. — 2009. — **109**, N 9. — P. 4283—4374.
2. Bünzli J.-C. G. // Handbook on the physics and chemistry of rare earths. — 2016. — **50**. — P. 141—176.
3. Latva M., Takalo H., Mukkala V.-M. et al. // J. Luminescence. — 1997. — **75**, N 2. — P. 149—169.
4. Bortoluzzi M., Paolucci G., Polizzi S. et al. // Inorg. Chem. Commun. — 2011. — **14**, N 11. — P. 1762—1766.
5. Gheno G., Bortoluzzi M., Ganzerla R., Enrichi F. // J. Luminescence. — 2014. — **145**. — P. 963—969.
6. Lawrence R. G., Hamor T. A., Jones C. J. et al. // J. Chem. Soc. Dalton Trans. — 2001. — N 14. — P. 2121—2126.
7. Moss M. A. J., Jones C. J., Edwards A. J. // Polyhedron. — 1988. — **7**, N 1. — P. 79—81.
8. Moss M. A. J., Jones C. J., Edwards A. J. // J. Chem. Soc. Dalton Trans. — 1989. — N 7. — P. 1393—1400.
9. Craven E., Mutlu E., Lundberg D. et al. // Polyhedron. — 2002. — **21**, N 5/6. — P. 553—562.
10. Frodyma M. M., Lieu V. T. // Modern aspects of reflectance spectroscopy / Ed. W. W. Wendlandt. — New York : Plenum press, 1968. — P. 88—106.
11. Jüstel T., Krupa J.-C., Wiechert D. U. // J. Luminescence. — 2001. — **93**, N 3. — P. 179—189.
12. De Mello Donegá C., Ribeiro S. J. L., Gonçalves R. R., Blasse G. // J. Phys. Chem. Solid. — 1996. — **57**, N 11. — P. 1727—1734.
13. Neese F. // Wiley Interdiscip. Rev. Comput. Mol. Sci. — 2012. — **2**, N 1. — P. 73—78.
14. Hanwell M. D., Curtis D. E., Lonie D. C. et al. // J. Cheminformatics. — 2012. — **4**. — P. 17.
15. Bünzli J.-C. G., Piguet C. // Chem. Soc. Rev. — 2005. — **34**, N 12. — P. 1048—1077.
16. Zheng Y., Lin J., Liang Y. et al. // J. Mater. Chem. — 2001. — **11**, N 10. — P. 2615—2619.
17. Rybak J.-C., Meyer L. V., Wagenhöfer J. et al. // Inorg. Chem. — 2012. — **51**, N 24. — P. 13204—13213.
18. Armaroli N., Accorsi G., Barigelli F. et al. // Inorg. Chem. — 1999. — **38**, N 25. — P. 5769—5776.
19. Jones P. L., Amoroso A. J., Jeffery J. C. et al. // Inorg. Chem. — 1997. — **36**, N 1. — P. 10—18.
20. Shi S., Liu X., Gao J., Zhou J. // Spectrochim. acta A. — 2008. — **69**, N 2. — P. 396—399.
21. An B.-L., Gong M.-L., Cheah K. W. et al. // Chem. Phys. Lett. — 2004. — **385**, N 5/6. — P. 345—350.
22. Parra D. F., Mucciolo A., Brito H. F. et al. // J. Solid State Chem. — 2003. — **171**, N 1/2. — P. 412—419.
23. Voloshin A. I., Shavaleev N. M., Kazakov V. P. // J. Photochem. and Photobiol. A. — 2000. — **134**, N 1/2. — P. 111—117.
24. Ribeiro A. O., Serra O. A. // J. Braz. Chem. Soc. — 2007. — **18**, N 2. — P. 273—278.
25. Ribeiro A. O., Calefi P. S., Pires A. M., Serra O. A. // J. Alloys and Compd. — 2004. — **374**, N 1/2. — P. 151—153.

Поступила в редакцию 7 июня 2017 г.  
В окончательном варианте 12 июня 2017 г.

## Вплив будови 3-арилакетилацетонатних лігандів на люмінесцентні властивості комплексів Eu<sup>3+</sup> та Tb<sup>3+</sup>

**A. В. Кандель<sup>1</sup>, О. А. Михальова<sup>1</sup>, М. Зеллер (M. Zeller)<sup>2</sup>,  
А. В. Еддісон (A. W. Addison)<sup>3</sup>, В. В. Павліщук<sup>1</sup>**

<sup>1</sup> Інститут фізичної хімії ім. Л. В. Писаржевського НАН України  
просп. Науки, 31, Київ 03028, Україна. E-mail: shchuk@inphyschem-nas.kiev.ua

<sup>2</sup> Purdue University, Department of Chemistry  
560 Oval Drive, West Lafayette, IN 47907, U.S.A.

<sup>3</sup> Department of Chemistry, Drexel University  
Philadelphia, PA 19104-2816, U.S.A.

Показано, що в ряду комплексів  $Tp_2LnL$  ( $Ln = Eu, Tb$ ;  $Tp^-$  = триє(піразоліл)борат-аніон;  $L^-$  = 3-арилакетилацетонат) з подовженням ланцюга спряження ароматичного замісника знижується значення енергії триплетного рівня  $L^-$ , що призводить до зміни природи емісії з метал-центрованої на ліганд-центровану. Знайдено, що введення двох лігандів-антен різної природи сприяє підвищенню квантових виходів люмінесценції (до 74 %) у випадку комплексів  $Tb^{3+}$ , імовірно, за рахунок оптимізації шляхів переносу енергії, тоді як для сполук  $Eu^{3+}$  призводить до гасіння емісії, мабуть, в результаті збільшення ефективності міграції енергії та безвироміновальної дезактивації збуджених станів.

**Ключові слова:** фотolumінесценція, ліганди-антени, триє(піразоліл)борат, ацетилацетонат, сенсибілізація.

## Influence of the Structure of 3-Arylacetylacetone Ligands on the Luminescence Properties of Eu<sup>3+</sup> and Tb<sup>3+</sup> Complexes

A. V. Kandel<sup>1</sup>, E. A. Mikhalyova<sup>1</sup>, M. Zeller<sup>2</sup>, A. W. Addison<sup>3</sup>, V. V. Pavlishchuk<sup>1</sup>

<sup>1</sup> L. V. Pysarzhevsky Institute of Physical Chemistry, National Academy of Sciences of Ukraine  
Prosp. Nauky, 31, Kyiv 03028, Ukraine. E-mail: shchuk@inphyschem-nas.kiev.ua

<sup>2</sup> Purdue University, Department of Chemistry  
560 Oval Drive, West Lafayette, IN 47907, USA

<sup>3</sup> Department of Chemistry, Drexel University  
Philadelphia, PA 19104-2816, USA

*It was shown that in a series of complexes Tp<sub>2</sub>LnL (Ln = Eu, Tb; Tp<sup>-</sup> = tris(pyrazolyl)borate-anion; L<sup>-</sup> = 3-arylacetylacetone) the energy of triplet state of L<sup>-</sup> decreases with the elongation of the conjugation system of aromatic substituent that results in change of emission nature from metal-centered to ligand-centered. It was found, that combining two antenna-ligands of different nature promotes the increase of luminescence quantum yield (up to 74%) in the case of Tb<sup>3+</sup> compounds, probably, due to optimization of energy transfer pathways but in Eu<sup>3+</sup> compounds leads to emission quenching, likely as a result of the growth of the efficiency of the energy migration and non-radiative deactivation of exciting states.*

**Key words:** photoluminescence, antenna-ligands, tris(pyrazolyl)borate, acetylacetone, sensitization.